

**Research Paper**

Maximum Likelihood-Based Worst-Case Optimization Design of Hydrazine Propulsion System for A satellite Orbital Transfer System under Uncertainty

Alireza Toloei^{1*}, Mohammad Fatehi², and Behrooz Keshtegar³.

1,2- Department of Aerospace Engineering, Faculty of New Technologies, Shahid Beheshti University, Tehran, Iran.

3- Department of Civil Engineering, Faculty of Engineering, Zabol University, Zabol, Iran.

* toliei@sbu.ac.ir

In this paper, a design of a hydrazine monopropellant system is proposed based on the maximum likelihood for the presentation of uncertainties, without any specific assumptions about the type of distribution and even uncertainty in distribution parameters by the Johnson distributions family. The maximum likelihood method for the combination of spars point and interval data has been added to a separate formulation for design variables and parameters. This formulation is also suitable for both epistemic and aleatory uncertainty with three presentation types of spars points, single interval, and multi-interval.

Keyword: Worst-Case optimization, mono propellant propulsion system, maximum likelihood, Uncertainty.

1. Associate Professor (Corresponding Author)
2. Ph.D. Candidate

3. Associate Professor

مقاله علمی- پژوهشی

طراحی بهینه بدترین حالت سامانه پیشرانش هیدر ازین برای یک سامانه انتقال مداری تحت عدم قطعیت مبتنی بر حداکثر درست نمایی

علیرضا طلوعی^{۱*}، محمد فاتحی^۲ و بهروز کشته گر^۳

۱- دانشکده فناوری های نوین، دانشگاه شهید بهشتی، تهران ایران

۲- گروه عمران، دانشکده فنی مهندسی، دانشگاه زابل، زابل، ایران

*toloei@sbu.ac.ir

در پژوهش حاضر به پیشنهاد طراحی یک سامانه تک مؤلفه‌ای هیدر ازین، مبتنی بر حداکثر درست نمایی برای بیان عدم قطعیت‌ها، بدون هیچ فرض خاصی بر روی نوع توزیع و حتی عدم قطعیت در پارامترهای توزیع توسط مجموعه خانواده جانسون پرداخته شده است. روش حداکثر درست نمایی برای ترکیب داده‌های بازه‌ای و تنک به یک فرمول بندی جداسازی شده برای متغیرها و پارامترهای طراحی افزوده شده که سازگار با هر دو نوع عدم قطعیت شناختی و غیر شناختی با هر سه نوع داده تنک، چند بازه‌ای و تک بازه‌ای است. در نهایت چارچوب پیشنهادی برای سه روش بهینه سازی طراحی بدترین حالت برای یک سامانه پیشرانش تک مؤلفه‌ای هیدر ازین پیاده‌سازی شده و با یکدیگر مقایسه شده‌اند.

واژه‌های کلیدی: بهینه‌سازی بدترین حالت، سیستم پیشرانش تک مؤلفه‌ای، حداکثر درست نمایی، عدم قطعیت قطعیت، عدم قطعیت شناختی، عدم قطعیت داده‌های بازه‌ای

مقدمه

علامه و اختصارات

با پیشرفت در علم و فناوری، تقاضا برای وسائل نقلیه هوافضایی همراه با کارایی بالاتر، قابلیت اطمینان و مقاومت بیشتر، هزینه و ریسک کمتر روزافزون شده است. در دنیای واقعی مقادیر گسترده‌ای از عدم قطعیت‌ها، ناشی از ذات خود سامانه در تمام چرخه عمر آن وجود دارد. این عدم قطعیت‌ها ممکن است باعث تغییرات یا نوسان در عملکرد سامانه، انحراف شدید، نتایج غیرمنتظره یا حتی خطای عملکردی بی‌سابقه و شکست مأموریت شود؛ بنابراین به حساب آوردن عدم قطعیت‌ها از همان ابتدای طراحی وسائل نقلیه هوافضایی حائز اهمیت است [۱]. متناظر با این اهداف روش‌های مختلف ارزیابی و مقابله با اثرات عدم قطعیت ورودی برای مسائل بهینه‌سازی طراحی

σ	انحراف استاندارد
Δ	حداکثر دامنه تغییر
∇	گرادیان
$H(x)$	ماتریس هسیان
k	سطح قابلیت اطمینان
λ	پارامتر اندازه
ξ	پارامتر مکانی

۱. دانشیار (نویسنده مخاطب)

۲. دانشجوی دکتری

۳. دانشیار

پیاده‌سازی بهینه‌سازی بدترین حالت برای طراحی یک سامانه نیازمند برداشتن دو گام به شرح زیر است:

۱. بیان و تعریف عدم قطعیت

۲. فرمول‌بندی کلی بهینه‌سازی بدترین حالت

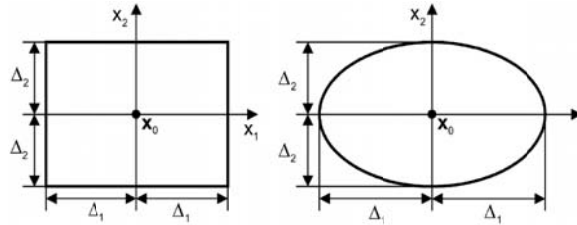
برای عدم قطعیت حول نقطه طراحی تعاریف مختلفی شده است که در پژوهش حاضر از مدل مستطیلی به صورت رابطه ۱ استفاده شده است:

$$U(x_0) = \{\xi \in R^n : x_0 - \Delta \leq \xi \leq x_0 + \Delta\} \quad (1)$$

حداکثر دامنه تغییر ممکن از مقدار نامی متغیر x_0 و متغیر است. مدل بیضوی مدل دیگری است که می‌توان به صورت رابطه ۲ آن را بیان نمود.

$$U(x_0) = \{\xi \in R^n : (\xi - x_0)^T(Q^{-1})^2(\xi - x_0) \leq 1\} \quad (2)$$

در این رابطه $Q = kdiag(\sigma_i)$ و σ انحراف استاندارد است [۴]. در شکل ۲ می‌توان تصویر این دو تعریف را مشاهده کرد. سطح قابلیت اطمینانی است که توسط طراح تعیین می‌گردد. به عنوان مثال در توزیع نرمال استاندارد $k=1$ مطابق با سطح قابلیت اطمینان ۹۵٪ است.



شکل ۲- بیان عدم قطعیت‌ها [۴]

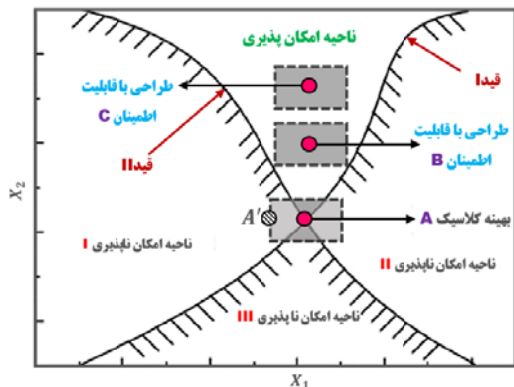
بررسی بر روی مقالات و پژوهش‌های انجام‌شده در این زمینه منجر به دسته‌بندی شکل ۳ برای متغیرهای موجود در طراحی‌های مبتنی بر عدم قطعیت شده است.

منظقه با پژوهش حاضر متغیرهای موجود را می‌توان به دو دسته کلی متغیرهای طراحی و متغیرهای غیرطراحی (پارامترهای طراحی) تقسیم کرد. معمولاً طراح با دو دسته متغیر روبرو است که می‌تواند با تغییر آنها تابع هدف یا قیدها را کنترل کند و دسته دوم که عدم قطعیت دارند ولی طراح کنترلی بر روی آن ندارد [۵]. در روش‌های بیان شده مرسوم بهینه‌سازی بدترین حالت، این جداسازی بین متغیر طراحی و پارامتر طراحی صورت نگرفته است. لذا ممکن است با دست کم گیری پاسخ‌ها روبرو شد زیرا در پارامترهای طراحی، طراح عملاً هیچ کنترلی بر روی تغییرات ندارد. به همین دلیل در پژوهش حاضر فرمول‌بندی روش‌های بهینه‌سازی بدترین حالت بهبودیافته است به طوری که بین متغیرها و پارامترهای طراحی تمایز قائل می‌شود.

ارائه شده است. می‌توان به روش‌هایی چون بهینه‌سازی بدترین حالت، طراحی مقاوم و دسته‌های مربوط به آن، انواع طراحی مبتنی بر قابلیت اطمینان و غیره اشاره کرد. در پژوهش حاضر به روش بهینه‌سازی بدترین حالت پرداخته می‌شود.

بهینه‌سازی بدترین حالت

روش بهینه‌سازی بدترین حالت یکی از روش‌هایی است که به طور گسترده برای ارزیابی قابلیت اطمینان پاسخ استفاده می‌شود. همانطور که در شکل ۱ نشان داده شده است در صورتی که B , A و C نقاط طراحی باشند، مستطیل خاکستری اطراف آنها عملکرد ناشی از عدم قطعیت را نشان می‌دهد. اعمال یک اغتشاش کوچک بر روی پاسخ طراحی ناشی از بهینه‌سازی کلاسیک A می‌تواند منجر به پاسخ غیرامکان پذیر A' شود.



شکل ۱- طراحی بهینه کلاسیک و بهینه بدترین حالت [۲]

بهینه‌سازی بدترین حالت در اصل یک محدوده‌ای از عدم قطعیت حول هر نقطه طراحی ایجاد می‌کند. این ناحیه در واقع مقداری ممکن تابع عملکرد است که توسط عدم قطعیت‌ها ایجاد می‌شود. اگر هر نقطه در این محدوده به ناحیه غیرقابل قبول وارد شود طرح موردنظر رد می‌شود و تنها طرحی که بدترین نقطه در آن محدوده، قیدهای موردنظر طراحی را نقض نکند به عنوان بهینه انتخاب می‌گردد. در این روش نیازی به تعیین توزیع احتمالاتی تابع هدف و قیدها نیست [۳,۲].

برای حل این مسئله در پژوهش حاضر از سه نوع روش برای فرمول‌بندی بهینه‌سازی بدترین حالت استفاده شده است.

- (O_WCO^۵) اصلی یا مرسوم (O_WCO^۵) •
- (W_WCO^۶) مبتنی بر بدترین رئوس (W_WCO^۶) •
- (G_WCO^۷) مبتنی بر گرادیان (G_WCO^۷) •

-
- 4. Worst Case Optimization
 - 5. Original _ Worst Case Optimization
 - 6. Worst-vertex-based Worst-Case Optimization
 - 7. Gradient-based Worst-Case Optimization

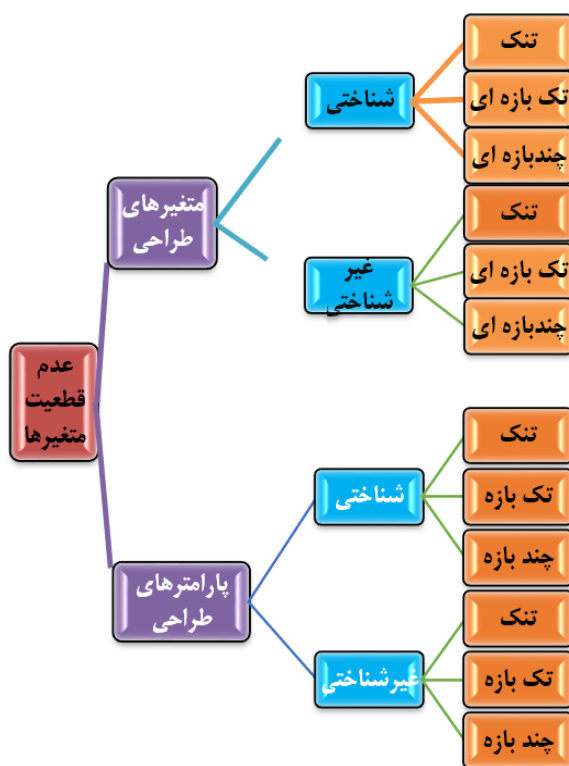
شامل داده‌های تنک به صورت نقاط گسسته، تنک بازه‌ای و یا چند بازه‌ای در مورد متغیر موردنظر شود. در پژوهش حاضر فرمولاسیون بهینه‌سازی بدترین حالت تحت هر دو نوع عدم قطعیت غیر شناختی و شناختی با استفاده از ارائه احتمالاتی از انواع مختلف عدم قطعیت پیشنهاد می‌گردد. فرمولاسیون بیان شده با هر دو نوع عدم داده‌های بازه‌ای و نقاط پراکنده بدون هیچ فرضی در مورد توزیع احتمال متغیرهای تصادفی مطابقت می‌کند.

بیان عدم قطعیت

بیان عدم قطعیت‌های ورودی، اولین گام در آنالیز قابلیت اطمینان و بهینه‌سازی طراحی‌های احتمالاتی برای هر سامانه‌ای است. معمولاً برای بیان عدم قطعیت از توزیع‌های احتمالاتی استفاده می‌شود. انتخاب مناسب‌ترین و دقیق‌ترین نوع توزیع برای متغیرهای تصادفی ورودی مهم است زیرا می‌تواند بعد از انتشار این عدم قطعیت‌ها در خروجی‌ها تأثیر زیادی داشته باشد. با این حال گاهی داده‌ها به صورت نقاط گسسته، غیردقیق و یا ناقص هستند که منجر به عدم قطعیت در پارامترهای توزیع و حتی در مورد نوع توزیع می‌شود. در واقعیت این احتمال وجود دارد که نوع توزیع متغیرهای ورودی در دست نباشد یا نتوان به درستی آن را مشخص کرد، بهخصوص در مسائل هوافضایی که داده‌های آماری به حد کافی در دسترس نیست یا هزینه‌بر است.

به همین دلیل در پژوهش حاضر از یک خانواده منعطف از توزیع‌های احتمالاتی به نام خانواده توزیع‌های جانسون استفاده شده است. در این مجموعه خانواده به صورت خودبُخود عدم قطعیت در پارامترهای توزیع نیز مورد توجه قرار می‌گیرد و از روش محاسبات تولید نمونه برای تعیین نوع توزیع جانسون برای پارامترها نیز می‌توان استفاده کرد. درحالی که از چندین نوع توزیع چهار پارامتری دیگر از جمله پیرسون، بتا و لامبدا می‌توان استفاده کرد ولی خانواده توزیع جانسون یک انتخاب مناسب است. یک دلیل اساسی آن انتقال ساده به فضای نرمال استاندارد است. همچنین بهینه‌سازی طراحی مبتنی بر قابلیت اطمینان استفاده کرد. مجموعه خانواده‌ی جانسون قادر است با تقریب خیلی نزدیک تعداد زیادی از توزیع‌های استاندارد را بیکی از فرم‌های خود تطبیق دهد [۹,۸].

توزیع جانسون یک توزیع چهار پارامتری است که می‌تواند چهار ممان اول را برای یک دامنه‌ی گستردگی از اشکال توزیع‌های احتمالاتی تطابق دهد. بیرونیات در سال ۱۹۸۹ با جزئیات، مزیت‌های سیستم انتقال توزیع جانسون برای مدل‌سازی ورودی شبیه‌سازی را بهخصوص در مقایسه با توزیع‌های بتا و خانواده‌ی



شکل ۳- جدول‌بندی عدم قطعیت‌ها [۵]

هر یک از این دو دسته می‌تواند عدم قطعیت‌های شناختی^۸ و غیرشناختی^۹ را شامل شود [۵]. عدم قطعیت غیرشناختی در مراجع و متون مختلف با نام‌های عدم قطعیت فیزیکی یا ذاتی و عدم قطعیت غیرقابل کاهش نیز یاد شده است [۶]. در هر صورت چون در سامانه‌های فیزیکی رایج عدم قطعیت در پارامترهای ورودی وجود دارد لذا این نوع را غیرقابل کاهش می‌نامند. عدم قطعیت شناختی ناشی از کمبود یا عدم اطلاعات در مورد سامانه با توجه به محدودیت در داده‌ها، محدودیت در اندازه‌گیری، تقریب ساده در رفتار مدل‌سازی سامانه، اطلاعات ناقص و گاهای بی‌خبری در هریک از فازها و یا عملکرد پروسه‌های طراحی است. این نوع عدم قطعیت نوعاً با افزایش اطلاعات در مورد همان متغیر کاهش می‌یابد. اکثر روش‌هایی که تاکنون توسعه یافته‌اند بر روی عدم قطعیت غیر شناختی می‌باشند. حالتی که اطلاعات احتمالاتی دقیقاً مشخص هستند در حالی که چنین اطلاعات دقیقی در مورد توزیع احتمال بهندرت در عمل در دسترس است. البته مطالعات کمی در متون برای مقابله با عدم قطعیت شناختی ناشی از کمبود اطلاعات گزارش شده است. مجله‌ی «مهندسی قابلیت اطمینان و امنیت سامانه» در موضوعات تخصصی به بحث درباره این دو نوع عدم قطعیت می‌پردازد [۷,۶]. هر یک از این عدم قطعیت‌ها می‌تواند

8. Epistemic

9. Aleatory

علیرضا طلوعی، محمد فاتحی و بهروز کشتگر

را طوری مشخص می‌کند که تابع درستنمایی حداکثر شود. با این حال تابع درستنمایی $L(P)$ ممکن است به طور طبیعی برای حداکثر کردن پیچیده باشد. از این‌رو معمولاً از لگاریتم طبیعی تابع درستنمایی استفاده شده و به صورت $\log(L(P))$ نمایش داده می‌شود. با توجه به اینکه تابع لگاریتم طبیعی یک تابع اکیداً یکنواست، حداکثر کردن $L(P)$ با حداکثر کردن $\log(L(P))$ برابر $\log(L(P))$ می‌کند. لگاریتم تابع درستنمایی به صورت رابطه ۴ بیان می‌شود

$$\log(L(P)) = \log \prod_{i=1}^n f(x_i|P) = \sum_{i=1}^n \log f(x_i|P) \quad (4)$$

اگر داده‌های مشاهده شده از آزمایش‌های مختلف و یا نظرات متخصص‌های مختلف به عنوان منابع داده‌ها باشند، می‌توان داده‌ها را طبق معادله، مستقل فرض نمود از این و تابع درستنمایی اشتراکی برای پارامتر P به صورت رابطه ۵ بیان می‌شود.

$$L(P) \propto \prod_{i=1}^n f(x_i|P) \quad (5)$$

با حداکثر کردن این معادله می‌توان مقدار پارامتر P را تخمین زد که آن را عموماً بنام حداکثر تخمین درستنمایی یا MLE می‌شناسند [۱۶]. تابع حداکثر درستنمایی برای توزیع نرمال در رابطه ۶ آورده شده است.

$$L(\mu, \sigma) = \prod_{i=1}^n \frac{1}{\sqrt{2\pi}\sigma} e^{-\frac{(x_i-\mu)^2}{2\sigma^2}} \quad (6)$$

برای ساده‌سازی از هر دو طرف لگاریتم طبیعی گرفته می‌شود. تابع لگاریتم درستنمایی به صورت رابطه ۷ مشخص می‌گردد.

$$\begin{aligned} \log(L(\mu, \sigma)) &= \sum_{i=1}^n \log \left(\frac{1}{\sqrt{2\pi}\sigma} e^{-\frac{(x_i-\mu)^2}{2\sigma^2}} \right) = \\ &-n\log\sqrt{2\pi} - n\log\sigma - \frac{1}{2} \sum_{i=1}^n \left(\frac{x_i - \mu}{\sigma} \right)^2 \end{aligned} \quad (7)$$

می‌توان با حداکثر کردن رابطه بالا دو پارامتر مقدار میانگین و واریانس توزیع نرمال را به دست آورد. به طور مشابه برای توزیع محدود جانسون لگاریتم طبیعی تابع درستنمایی به صورت رابطه ۸ بیان می‌شود.

$$\begin{aligned} \log(L(\delta, \gamma, \xi, \lambda)) &= n\log\delta - n\log\sqrt{2\pi} - \sum_{i=1}^n \log \left(\frac{x_i - \xi}{\lambda} \right) \\ &- \sum_{i=1}^n \log \left(\frac{\lambda - x_i - \xi}{\lambda} \right) - \frac{1}{2} \sum_{i=1}^n \left[\gamma + \delta \log \left(\frac{x_i - \xi}{\lambda - x_i - \xi} \right) \right]^2 \end{aligned} \quad (8)$$

با بهینه‌سازی به ازای چهار متغیر طراحی می‌توان چهار پارامتر این توزیع یعنی $(\delta, \gamma, \xi, \lambda)$ را به ازای حداکثر کردن تابع درستنمایی بدست آورد.

برخلاف داده‌های نقاط گسسته که محاسبات آماری (مانند محاسبه ممان) دارای یک مقدار دقیق است، معمولاً برای داده‌های

نرمال و مثلثی بیان کرده است [۱۰]. برای بیان هر یک از انواع عدم قطعیت داده‌ها چه داده‌های تنک و چه داده‌های تک بازه‌ای و چند بازه‌ای می‌توان روش‌های مختلفی استفاده کرد. به عنوان مثال برای داده‌های تنک می‌توان روش‌های همچون روش‌های ممانی، تطبیق صدک و دهک، تخمین حداقل مربعات، حداقل کردن خطای توزیع جانسون در مقایسه با تابع‌های چگالی تجمعی تجربی و غیره را نام برده. روش‌های مذکور در تخمین پارامترهای توزیع استفاده شده است و عدم قطعیت به صورت خودبه‌خود حتی در نوع توزیع در نظر گرفته می‌شود. در پژوهش حاضر به روش حداکثر درستنمایی برای داده‌های تنک پرداخته می‌شود [۴].

حداکثر درستنمایی

روش‌های مبتنی بر درستنمایی برای بیان احتمالاتی مقادیر عدم قطعیت نقاط گسسته یا تنک استفاده می‌شوند. این روش‌ها می‌توانند عدم قطعیت توزیع را وقتی که داده‌ها به صورت نقاط گسسته یا غیردقيق باشند برای توزیع‌های خاص از جمله نرمال، لوگ‌نرمال، توزیع جانسون محدود و غیره مشخص کند. تخمین پارامترها با حداکثر درستنمایی در چندین کاربرد مهندسی [۱۱-۱۳] نیز تاکنون استفاده شده است. تابع درستنمایی از تابع چگالی احتمال داده‌های نقاط گسسته تشکیل می‌شود. زمانی که نوع توزیع عدم قطعیت در تعدادی از متغیرهای تصادفی خاص مشخص شود پارامترهای توزیع عدم قطعیت مشخصاً قابل تعیین است.

بیان عدم قطعیت به روش مبتنی بر درستنمایی می‌تواند برای هر یک از روش‌های تحت عدم قطعیت همچون RDO، RBDO و WCO، RBDO استفاده شود. درستنمایی برای یک پارامتر مانند P به معنای تعیین مقدار مناسب با احتمال پارامتر P برای یک جمعیت خاص است که در آن متغیر x شامل داده‌های مشاهده شده به عنوان نمونه است. اگر متغیرهای تصادفی مستقل باشند تابع چگالی اشتراکی به صورت رابطه ۳ نوشته می‌شود [۱۴، ۱۵]:

$$f(x_1|p) = f(x_1) \dots f(x_n|p) = f(x_1|p) \dots f(x_n|p) \quad (3)$$

این تابع را تابع درستنمایی می‌نامند و به صورت $L(P)$ نمایش داده می‌شود. در یک مقدار خاص $P=p^*$ بیشترین احتمال اینکه تابع $f(x_i|p)$ مقادیر واقعی مشاهده شده را تولید کنند وجود دارد؛ بنابراین تخمین مقدار P که منجر به p^* شود منطقی است. برای یک توزیع پیوسته مشخص، پارامتر P وقتی که تابع درستنمایی یا تابع چگالی احتمال $f(x_i|p)$ بسیار بالا باشد (احتمال بالا) این مقدار احتمال یک تخمین از مقدار P می‌شود. در نتیجه این روش (MLE) پارامتر P

-
10. Robust Design Optimization
 11. Reliability Based Design Optimization
 12. Maximum Likelihood Estimation

انتخاب شده و در هر گام به صورت عدد ثابت وارد بهینه سازهای داخلی می‌شود. فرمولاسیون بهینه‌سازی آن به صورت رابطه ۹ بیان می‌شود [۱۹].

$$\begin{aligned} \min_x & \left(\max_p (f(x|P) = \log(L(x|P))) \right) \\ \text{s.t.} & lb_i \leq x_i \leq ub_i \quad \text{for } i = 1, 2, \dots, n \end{aligned} \quad (9)$$

فرمول‌بندی بهینه‌سازی بدترین حالت

بعد از بیان عدم قطعیت‌ها آخرین گام تعیین فرمول‌بندی‌های بهینه‌سازی بدترین حالت است. اولین روش WCO اصلی است که از دو حلقه تودرتو برای رسیدن به پاسخ استفاده می‌کند. می‌توان آن را به صورت یک مسئله حداقل-حداکثر به صورت رابطه ۱۰ بیان کرد [۲۰].

$$\begin{aligned} \min_x & \max_{\xi \in U(x)} f(\xi) \\ \text{s.t.} & \max_{\xi \in U(x)} g_i(\xi) \leq 0, \quad i = 1, \dots, m \end{aligned} \quad (10)$$

این فرمول‌بندی به این معناست که مقادیر اولیه متغیرها برای تابع هدف و توابع قید با بدترین مقادیر جایگزین می‌شوند. به عنوان یک بهینه‌سازی حداقل-حداکثر، یک حلقه بهینه‌سازی در داخل دیگری وجود دارد لذا این فرآیند وقت‌گیر است و به میزان قابل توجهی کارایی را کاهش می‌دهد چراکه بهینه‌ساز داخلی باید برای هر نقطه از فضای جستجوی طراحی در هر گام بهینه‌سازی اجرا شود. بهمنظور کاهش بار محاسباتی، WCO مبتنی بر بدترین رئوس (WWCO) توسط اشتاینر و همکاران در سال ۲۰۰۴ [۲۰] پیشنهاد شد. این روش با هدف توجه به مقادیر مرزهای $U(d)$ در هر بعد و پیش‌بینی بدترین مقدار رأس شکل گرفت. قاعده اصلی WWCO تعیین جهت صعودی است که در آن مقادیر تابع هدف و قیدها افزایش می‌یابد. این روش با پیش‌بینی بدترین رأس x تابع هدف شروع می‌شود و به صورت رابطه ۱۱ بیان می‌گردد: [۲۰, ۲۱]

$$x_w = x + \begin{cases} sign(f(x + k\sigma_1) - f(x - k\sigma_1))k\sigma_1 \\ \vdots \\ sign(f(x + k\sigma_n) - f(x - k\sigma_n))k\sigma_n \end{cases} \quad (11)$$

σ انحراف استاندارد متغیرهای تحت عدم قطعیت است. جهت صعود ممکن است همیشه برای تابع هدف و هر قید یکسان نباشد، بنابراین برای همه قیدها باید بدترین رأس محاسبه شود.

مطابق با این بدترین رئوس، بدترین حالت تابع هدف و قیدها می‌تواند به صورت رابطه ۱۲ تقریب زده شود [۲۱]:

$$\begin{aligned} \max_{\xi \in U(x)} f(\xi) & \cong f(x_w) \\ \max_{\xi \in U(x)} g_i(\xi) & \cong g_i(x_{w,i}) \end{aligned} \quad (12)$$

لذا فرمولاسیون به صورت زیر تغییر می‌یابد:

$$\begin{aligned} \min_{x \in S} & f(x_w) \\ \text{s.t.} & g_i(x_{w,i}) \leq 0 \end{aligned} \quad (13)$$

طراحی بهینه بدترین حالت سامانه پیشراش هیدرائین برای یک سامانه انتقال مداری تحت عدم قطعیت مبتنی بر-

بازه‌ای این مقادیر به صورت یک کران بالا و پایین بیان می‌شود. پیداکردن این کران‌ها در داده‌ای بازه‌ای یک چالش محاسباتی است زیرا نوعاً نیازمند یک آنالیز بازه‌ای است که با استفاده از یک جستجوی ترکیبی ساخته می‌شود. در این بخش یک رویکرد مبتنی بر حداکثر لگاریتم درست‌نمایی برای متغیر x مبتنی که به صورت چند بازه‌ای بیان شده است ارائه می‌گردد. روش پیشنهادی برای بیان عدم قطعیت در هر دو نوع روش RDO و RBDO نیز کاربرد دارد. برخلاف روش‌های دیگر بیان عدم قطعیت بازه‌ای که نیازمند یک سری محاسبات سنگین و آنالیز تو در تو است این روش مبتنی بر بهینه‌سازی بوده و بهسادگی به کار بسته می‌شود. از دیگر ویژگی‌های این روش‌ها می‌توان به استفاده از آن‌ها در چارچوب‌های مختلف احتمالاتی و برای هر دو نوع عدم قطعیت شناختی و غیر شناختی اشاره کرد. همچنین در روش‌های مختلفی همچون FORM^{۱۳} و SORM^{۱۴} برای انتشار عدم قطعیت‌ها در طراحی‌های مبتنی بر قابلیت اطمینان نیز قابل استفاده هستند [۱۷]. در مقاله‌ای در سال ۲۰۱۱، ماهدون و سانکارارامن [۱۸]، یک بیان احتمالاتی برای تخمین پارامترهای توزیع برای متغیرهای نقاط گسسته داده‌ای بازه‌ای توسعه دادند. ایشان بیان کردند که تابع درست‌نمایی از PDF^{۱۵} داده‌ای نقاط گسسته و CDF^{۱۶} داده‌ای بازه‌ای به صورت اشتراکی استفاده می‌شود. همچنین تابع درست‌نمایی کامل را به این صورت تعریف کردند که یک تابع درست‌نمایی زمانی کامل است که یک ترکیبی از هر دو نوع عدم قطعیت نقاط گسسته و داده بازه‌ای با یک تابع احتمال توانمند باشد. این روش مبتنی بر حداقل خطای نمونه‌سازی توسط پارامترهایی است که با استفاده از حداکثر کردن تابع درست‌نمایی حاصل شده و با یک بهینه‌سازی تودرتو بدست می‌آید. در داخلی ترین بهینه‌سازی حداکثر کردن درست‌نمایی بر اساس پارامترهای توزیع منظر است:

$$max_p(Likelihood\ Function)$$

برای توزیع جانسون محدود، ζ و λ دو پارامتر مکانی و اندازه هستند لذا این توزیع در بازه‌ای از $\zeta - \lambda$ تا $\zeta + \lambda$ تعریف می‌شود. مشخصاً برای داده‌های تک‌بازه‌ای، کران‌های بازه همان ابتداء و انتهای بازه و برای داده‌های چند بازه‌ای، حداقل ابتدای بازه در بین بازه‌های داده‌شده به عنوان کران پایین و حداکثر انتهای بازه در بین بازه‌های داده‌شده به عنوان کران بالا باید انتخاب شود.

$$\zeta = min \{a_i\}$$

$$\lambda = max \{b_i\} - min \{a_i\}$$

مقادیر x_i از بیرونی‌ترین بهینه‌سازی وارد بهینه سازه میانی می‌شود؛ یعنی در اصل در بیرونی‌ترین بهینه‌ساز x_i ها به نوعی از هر بازه

13. First Order Reliability Method

14. Second Order Reliability Method

15. Probability Density Function

16. Cumulative Distribution Function

علیرضا طلوعی، محمد فاتحی و بهروز کشته‌گر

بهینه کار اشتباه به نظر می‌رسد و حتی می‌تواند منجر به ناکارآمدی عملکرد سامانه نیز شود. به همین دلیل در چارچوب ارائه شده این متغیرها به حلقه داخلی منتقل شده و در یک بازه، مقادیری از آن پذیرفته می‌شود که موجب تضعیف هدف سامانه شود. بدین سبب از تغییرات این مقادیر در یافتن مقدار بهینهتابع هدف استفاده نشده است. برای پیاده سازی چنین چارچوبی نیاز به یک تبادل بین متغیرهای طراحی و متغیرهای غیر طراحی در محاسبه تابع هدف است. همانگونه که از شکل ۴ نیز قابل برداشت است این تبادل منجر به یک کوپلینگ شده است. فرمولاسیون ارائه شده به صورت روابط ۱۷ تا ۲۰ در زیر بیان می‌شود.

$$\begin{aligned} \min_d (\max_{\mu_z} f_w(\mu_z, d)) \\ \text{s.t. } \max_{\mu_z} g_w(\mu_z, d) \leq 0 \\ lb \leq d \leq ub \\ Z_l \leq \mu_z \leq Z_u \\ d - k\sigma \leq \xi \leq d + k\sigma \end{aligned} \quad (17)$$

For Original WCO

$$\begin{cases} f_w(\mu_z, d) = \max_{\xi \in U(d)} f(\xi) \\ g_w(\mu_z, d) = \max_{\xi \in U(d)} g(\xi) \end{cases} \quad (18)$$

For W_WCO

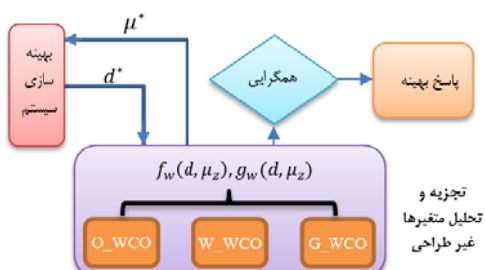
$$\begin{cases} f_w(\mu_z, d) = f(\mu_z, d_w) \\ g_w(\mu_z, d) = g(\mu_z, d_w) \end{cases} \quad (19)$$

$$d_w = d + \begin{cases} sign(fun(d + k\sigma_1) - fun(d - k\sigma_1))k\sigma_1 \\ \vdots \\ sign(fun(d + k\sigma_n) - fun(d - k\sigma_n))k\sigma_n \end{cases}$$

For G_WCO

$$\begin{cases} f_w(\mu_z, d) = f(\mu_z, d) + \|\nabla f(d)\| \max_{\xi \in U(d)} \|\xi - d\| \\ g_w(\mu_z, d) = g(\mu_z, d) + \|\nabla g(d)\| \max_{\xi \in U(d)} \|\xi - d\| \end{cases} \quad (20)$$

در آن Z_l و Z_u بردارهای کران پایین و بالای مقدار میانگین (μ_z) متغیرهای تصمیم‌گیری غیر طراحی در بهینه‌سازی داخلی است. الگوریتم پیشنهاد شده برای این چارچوب بهینه‌سازی به صورت شکل ۵ مشخص می‌گردد.



شکل ۴- الگوریتم بهینه بذرین حالت پیشنهادی

روش دیگری برای کاهش بار محاسباتی WCO، روش مبتنی بر گرادیان است. این روش در صورتی که تابع هدف و قیدها مشتق‌پذیر باشند تمایل به استفاده از بسط سری تیلور در همسایگی مقدار متوسط x دارد.

$$f(\xi) = f(x) + \nabla f(x) \cdot (\xi - x) + \frac{1}{2}(\xi - x)H(x)(\xi - x) \quad \forall \xi \in U(x) \quad (14)$$

۷ گرادیان و (x) ماتریس هسیان است. برای WCO مبتنی بر گرادیان مرتبه اول (GWCO)، ترموماتری مرتبه بالاتر نادیده گرفته می‌شود و با کمک نابرابری کوشی-شووارتز، مقادیر تابع هدف در ناحیه اطراف x به صورت رابطه ۱۵ بیان می‌شود.

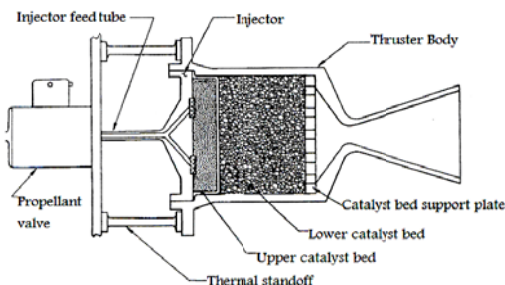
$$\begin{aligned} f(\xi) &\approx f(x) + \nabla f(x) \cdot (\xi - x) \leq f(x) + \|\nabla f(x)\| \cdot \|\xi - x\| \\ &\leq f(x) + \|\nabla f(x)\| \cdot \max_{\xi \in U(x)} \|\xi - x\| \quad \forall \xi \in U(x) \end{aligned} \quad (15)$$

سمت راست نامساوی را می‌توان به عنوان بدترین حالت تابع هدف تلقی کرد. همین تقریب را می‌توان برای قیدها تعریف نمود و مسئله بدترین حالت اولیه را به یک تقریب توسعه اطلاعات گرادیان تبدیل کرد [۳].

$$\begin{aligned} \min_{x \in S} f_w(x) \\ \text{s.t. } g_w(x) \leq 0 \\ f_w(x) = f(x) + \|\nabla f(x)\| \cdot \max_{\xi \in U(x)} \|\xi - x\| \\ g_w(x) = g(x) + \|\nabla g(x)\| \cdot \max_{\xi \in U(x)} \|\xi - x\| \end{aligned} \quad (16)$$

بعد از بیان سه روش طراحی بهینه بدترین حالت در ادامه به چارچوب کلی طراحی برای پیاده سازی عدم قطعیت شناختی با جداسازی متغیر و پارامترهای طراحی پرداخته می‌شود. افزودن عدم قطعیت‌های شناختی در چارچوب‌های بهینه‌سازی تحت عدم قطعیت یک سطح دیگری از پیچیدگی را به رویکرد طراحی اضافه می‌کند. هر یک از متغیرهای طراحی d و یا متغیرهای ورودی z ممکن است شامل عدم قطعیت‌های شناختی شوند. در برخی از روش‌های طراحی بر اساس فرمولاسیون، پارامترهای طراحی را به عنوان متغیرهای طراحی در نظر می‌گیرند در صورتی که طراح هیچ‌گونه کنترلی بر روی متغیرهای غیرطراحی با عدم قطعیت شناختی z ندارد (مانند مدول یانگ در طراحی تیر). به همین دلیل در پژوهش حاضر یک چارچوب بهینه‌سازی تودرتو پیشنهاد شده است که در آن علاوه بر مدنظر قراردادن عدم قطعیت غیرشناختی یک رویکرد طراحی مبتنی بر جستجوی مقادیر ممکن متغیرهایی با عدم قطعیت شناختی برای یافتن یک پاسخ بهینه ارائه شده است. این چارچوب منجر به یک طراحی محافظه‌کارتر نسبت به حالاتی شده است که عدم قطعیت شناختی را مدنظر قرار نداده و یا متغیرهای غیر طراحی را جزو متغیرهای طراحی در نظر گرفته است. مبنای این جداسازی در این روش بر این موضوع استوار است که طراح هیچ‌گونه کنترلی بر این متغیرها ندارد لذا استفاده از تغییرات آنها برای یافتن پاسخ

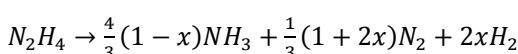
نیتروژن، هلیوم و غیره می‌توان برای فشارگذاری استفاده کرد. نیتروژن نشان داده است که گاز مناسبی برای چنین سامانه‌هایی است، لذا در پژوهش حاضر از این گاز برای فشارگذاری استفاده شده است [۲۸]. تانک ذخیره پیشران به طور کلی شامل وزن خود پیشران و دیگری سازه ذخیره‌سازی است. تانک ذخیره‌سازی نیز می‌تواند اشکال گوناگون و همچنین سازه‌های مختلفی همچون کامپوزیت کربن، فولاد، تیتانیوم الیاز آلومینیوم و غیره داشته باشد. شیرهای پیشران در زیر تانک‌های ذخیره پیشران قرار دارند و جریان پیشران به محفظه تراست را کنترل می‌کند. پس از عبور از این شیرها، پیشران وارد محفظه تراست را می‌گردد. به طور کلی محفظه تراست را می‌توان به چند بخش عمده تقسیم کرد. در پژوهش حاضر بخش‌های محفوظه احتراق، بستر کاتالیزور و یک نازل همگرا و اگرا به عنوان بخش‌های اصلی در نظر گرفته شده است. در شکل ۵ می‌توان شمای کلی یک تراست تک‌مؤلفه‌ای را مشاهده کرد.



شکل ۵- شمای کلی یک تراست تک‌مؤلفه‌ای [۲۹]

کاتالیست

در سامانه‌های پیشرانش تک‌مؤلفه‌ای، کاتالیست‌ها پیکرهای متفاوتی دارند. از جمله می‌توان صفحه‌ای بستر پک شده، مونولیتی و گرانولی را نام برد که نوع گرانولی از پرکاربردترین نوع کاتالیست‌ها برای هیدرازین است [۳۰]. کمپانی شیل (۱۹۶۳) اولین کاتالیزور تجزیه هیدرازین خود را خودی را معرفی کرد. شیل ۴۰۵ یکی از موفق‌ترین کاتالیزور تجزیه هیدرازین تا به امروز است [۳۱]. بسته‌های کاتالیزوری طوری طراحی شده‌اند که قبل از ورود به بخش نازل، به طور کامل پیشران تک‌مؤلفه‌ای هیدرازین به بخار فوق گرم و نیتروژن تجزیه می‌شود. دو واکنش تجزیه هیدرازین را می‌توان به صورت یک واکنش مانند زیر نوشت:



x نسبت تجزیه آمونیاک است [۳۲]. در سال ۱۹۶۸ کستن در مرجع [۳۳] روابط تجربی ۲۱ و ۲۲ را پیشنهاد کرد. این روابط قادر به پیش‌بینی تجزیه آمونیاک و دمای محفظه به صورت تابعی از متغیرهای ثابت است:

سامانه‌های انتقال مداری

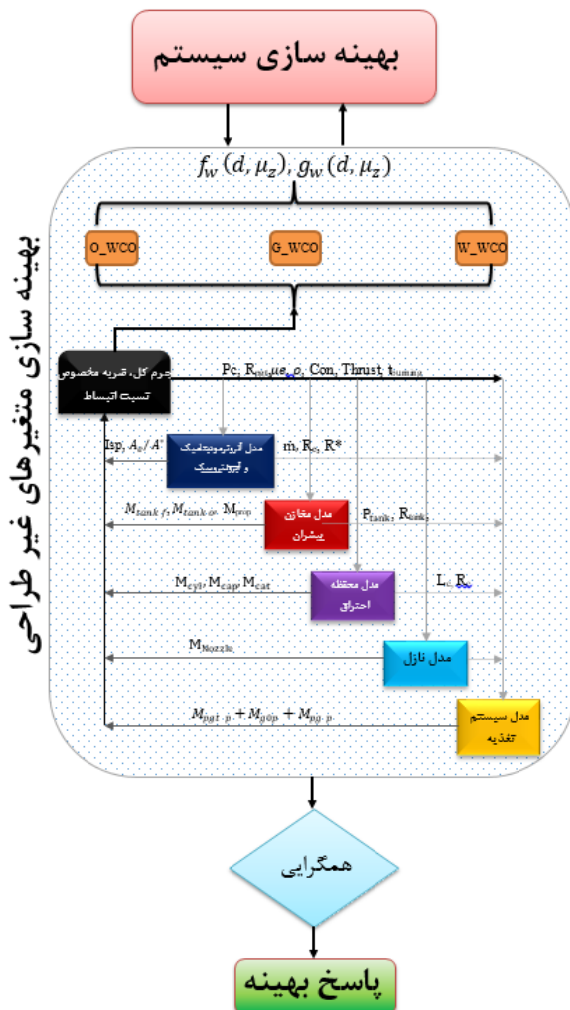
هدف پژوهش حاضر پیاده‌سازی روش‌های بیان شده تحت عدم قطعیت برای طراحی سامانه پیشرانش تک مؤلفه‌ای هیدرازین یک سامانه انتقال مداری است. سامانه‌های انتقال مداری یا شامل طبقات فوقانی ماهواره‌برها وظیفه‌ی انتقال ماهواره‌ها در فاز نهایی را دارند و یا خود جزو بار محموله مانند برخی فضایی‌ماها به عنوان هدف مأموریت ماهواره‌بر می‌باشند. محدوده عملکرد این سامانه‌ها در خارج از جو و در فاصله مدار پارکینگ به بالاست [۲۱، ۲۰]. سامانه‌های انتقال مداری مانند سایر سامانه‌های انتقال فضایی شامل بخش‌هایی همچون پیشرانش، سازه، اویونیک، کنترل و تعیین وضعیت و سایر سامانه‌های دیگر مانند سامانه‌های کنترل دما می‌باشد [۲۲]. یکی از مهم‌ترین بخش‌های آن بخش کنترل وضعیت است. روش‌های متعددی برای کنترل وضعیت این سامانه‌ها مورداستفاده قرار می‌گیرند. یکی از مرسوم‌ترین این روش‌ها کمک گرفتن از یک سامانه پیشرانش است. از سامانه‌های مختلف کنترل وضعیت، سامانه‌های عکس‌العملی (RCS) ثابت کرده‌اند که دارای بیشترین تنوع بوده و طیف گسترده‌ای از گشتاور تا سطوح بالا را شامل می‌شوند. از آن‌ها به طور گسترده در فضایی‌ماهی سرنشین دار و بدون سرنشین و همچنین طبقه فوقانی در وسایل نقلیه بزرگ استفاده شده است [۲۴، ۲۳]. بلوک‌های انتقال مداری متعددی از سامانه پیشرانش تک مؤلفه‌ای برای کنترل وضعیت خود بهره می‌برند که از جمله می‌توان به Fregat، Centaur، AVUM و Flagman اشاره کرد [۲۵].

پیشران‌های تک‌مؤلفه‌ای مایع

سامانه‌های پیشرانش تک‌مؤلفه‌ای به طور گسترده به‌ویژه برای کنترل وضعیت کم‌هزینه و یا اصلاح مدار (حفظ مدار) استفاده می‌شود. می‌توان به هیدرازین (N_2H_4) و هیدروژن پر اکسید (آب‌اکسیژن H_2O_2) به عنوان دو پیشران معمول مورداستفاده در این سامانه‌ها اشاره کرد [۲۶]. عملکرد پیشرانگی راکت تک مؤلفه‌ای پروکسید هیدروژن حدود ۲۰ درصد کمتر از هیدرازین است و این خود یکی از عوامل استفاده گسترده از هیدرازین است، ولی متأسفانه دارای عیب بزرگ سمی بودن نیز است. برای سامانه‌های پیشرانش مایع تک مؤلفه‌ای می‌توان به دلیل سادگی و قابلیت اطمینان، از مخازن تحت‌فشار گاز بی‌اثر به عنوان سامانه تقدیمه استفاده کرد [۲۷]. این مخازن فشارگذاری تضمین می‌کند که تانک حاوی پیشران فشار مطلوب موردنظر را حفظ کند. از گازهای مختلفی از جمله

علیرضا طلوعی، محمد فاتحی و بهروز کشتگر

محفظه تراستر، زیرسامانه‌های مخازن سوخت و زیرسامانه‌های تغذیه تحت‌فشار تقسیم‌شده است. سامانه تغذیه همان‌طور که قبلاً اشاره شد مخزن تحت‌فشار با گاز نیتروژن در نظر گرفته شده و مخازن سوخت و فشارگذاری همه کروی فرض می‌شوند. برای طراحی بهینه سامانه پیش‌ران، ابتدا در روابط محاسباتی جرم اجزای مختلف را به دست آورده و سپس با درنظر گرفتن متغیرهای طراحی، بهینه‌سازی مناسب انجام می‌شود. پارامترهای عملیاتی مهم و مؤثر بر وزن سامانه‌های پیش‌ران سوخت مایع شامل فشار محفظه، فشار مخازن ذخیره‌سازی گاز برای فشار گذاری، نسبت اختلاط اکسید کننده به سوخت و نسبت انبساط نازل را می‌توان نام برد [۲۳]. برای مطالعه چگونگی معادلات و مدل‌سازی زیرسامانه‌های مختلف یک سامانه پیش‌رانش تک‌مؤلفه‌ای به مرجع [۵] ارجاع داده می‌شود. در شکل ۶ نیز می‌توان چارچوب کلی پیشنهاد شده طراحی مبتنی بر بهینه‌سازی بدترین حالت را برای یک سامانه پیش‌رانش تک‌مؤلفه‌ای مشاهده کرد.



شکل ۶- الگوریتم طراحی بهینه بدترین حالت سیستم پیش‌رانش هیدرازین

$$1 - x = \left[0.66 * 0.4599 \left(\frac{L_f}{L_{cat}} \right)^{0.28} \right] \\ \left\{ \left[\left(0.55 \left(\frac{a}{0.3048} \right)^{0.17} - 0.17 \right) \left(\frac{68.9476}{P_c} \right)^{0.22} \right] + .017 \right\} \quad (21)$$

$$T_c = \frac{\left[\left[1020(1-x) + 0.075 \left(\frac{P_c}{68.9476} \right) \right] + 1535 \right]}{1.8} \quad (22)$$

x نسبت تجزیه آمونیاک، P_c فشار محفظه (bar)، L_f ضریب بار بستر ($\frac{\text{Kg}}{\text{m}^2 \text{s}}$)، L_{cat} طول بستر کاتالیستی (m)، T_c دمای گاز (K) و a شعاع ذرات (m) است. روابط ارائه شده برای فشارهای بین $3/۰۵$ تا $۶۸/۹۴۷۶$ بار، شعاع ذرات بین $۰/۳۰۵$ تا $۷۰/۳۰۷$ دارای میلی‌متر و ضریب بار بستر بین $۷/۰۳۰۷$ تا $۷۰/۳۰۷$ می‌باشد [۳۳]. جدول ۱ رابطه بین دما، جرم مولکولی و درصد تجزیه آمونیاک را در دو روش کستن و آدیابتیک نشان می‌دهد [۳۴]. از معادلات و روابط مذکور در ادامه برای طراحی سامانه پیش‌رانش تک‌مؤلفه‌ای هیدرازین استفاده می‌شود.

جدول ۱- خواص شیمیایی- فیزیکی هیدرازین

x	دمای آدیابتیک (K)	دمای کستن (K)	
%۰	۱۶۵۹	۱۴۲۰	۱/۱۶۹
%۲۰	۱۵۰۱	۱۳۰۶	۱/۲۰۳
%۴۰	۱۳۴۲	۱۱۹۳	۱/۲۴۰
%۶۰	۱۱۸۳	۱۰۸۰	۱/۲۷۸
%۸۰	۱۰۲۳	۹۶۶/۲	۱/۳۱۸
%۱۰۰	۸۶۳/۱	۸۵۲/۸	۱/۳۶۱

مبانی طراحی سامانه

اهداف مختلفی را می‌توان برای به دست آوردن پاسخ بهینه در نظر گرفت. در پژوهش حاضر حداقل وزن کل سامانه پیش‌رانش به عنوان هدف در نظر گرفته شده است. پس از انتخاب نوع پیش‌ران و سامانه تغذیه، تجزیه و تحلیل و طراحی پارامتریک سایر بخش‌های موتور با استفاده از همه متغیرهای طراحی با شرط حداقل حداقل وزن و ارضای نیازهای مأموریت و دیگر ملاحظات مهم صورت می‌گیرد [۲۳]. تجزیه شیمیایی، آبروتومودینامیک، قوانین و فرمول‌های سازه نیازمند شرایط بهینه مختلفی مانند فشار مخزن، طول و قطر بستر کاتالیست، فشار بستر کاتالیست و هندسه نازل است [۳۱]. سامانه پیش‌رانش تک‌مؤلفه‌ای در این تحقیق به سه زیرسامانه کلی

	MR-107s	طراحی
T _{burn} (s)	۳۰	۳۰
P _c (bar)	۴-۱۶	۹/۴۷۰۲۱
\dot{m} (gr/s)	۳۶/۳-۱۵۴/۷	۴۱/۷۵
Mass(Kg)	۰/۶۷	۰/۶۲
D _c (cm)	۵/۲۸	۴/۹۲
I _{sp} (s)	۲۲۵-۲۳۶	۲۱۷

در مقادیر ارائه شده به ترتیب دو مقدار D_e و D_c برابر با قطر خروجی نازل و قطر محافظه احتراق می‌باشند. همانگونه که از نتایج نیز قابل مشاهده است با دقت تقریباً مناسبی روش طراحی توانسته به نتایج مشابهی دست پیدا کند.

برای بیان عدم قطعیت متغیر و پارامترهای طراحی می‌توان به نمونه‌های موجود ساخته شده با کاتالیزورهای مشابه در شرکت‌های Airbus، Moog و Aerojet مراجعه کرد که به صورت مختصر در جدول ۳ آمده است. می‌توان مقادیر هر یک از متغیرهای ورودی را به صورت نمونه واقعی استخراج کرد که این مقادیر در تعیین کران‌های طراحی برای متغیرها موردنیاز هستند [۳۷-۳۵].

برای تعیین مقدار انحراف استاندارد تراست با توجه به مرجع [۳۸] مقدار ۳/۶ درصد در نظر گرفته می‌شود. همچنین برای سامانه پیشرانشی با ویژگی مشابه دو کران ۳۸۰ تا ۴۲۰ نیوتن برای تراست و زمان سوزشی بین ۲۰ تا ۶۰ ثانیه با انحراف استاندارد ۰/۰۵ درصد مفروض شده است.

جدول ۳-داده‌های نمونه واقعی [۳۴]

شرکت	مدل	نسبت انبساط	فشار محافظه (bar)	ضریب مخصوص (s)
Aerojet	MR-103D	۱۰۰	۵/۹-۲۳/۴	۲۲۴-۲۲۹
	MR-103G	۱۰۰	۴/۵-۲۳/۸	-
	MR-103M	۱۰۰	۵/۹-۲۰/۷	۲۰۸-۲۲۱
	MR-111C	۷۴	۳/۴-۱۲/۱	۲۱۵-۲۲۹
	MR-111E	۲۰۰	۳/۱-۱۴/۱	۲۱۳-۲۲۴
	MR-106L	۶۰	۴/۱-۱۳/۴	۲۲۹-۲۳۵
	MR-107S	۲۱.۵	۴-۱۶	۲۲۵-۲۳۶
	MR-107T	۲۱.۵	۱/۸-۴/۷	۲۲۲-۲۲۸
	MR-107V	۲۱.۵	۲/۶-۸/۴	۲۲۳-۲۲۹
	MR-104A/C	۵۳	۳/۹-۱۰/۷	۲۲۳-۲۳۹
	MR-80B	-	۰/۱۴-۲۰/۴	۲۰۰-۲۲۵
	MR-103D	۱۰۰	۵/۹-۲۳/۴	۲۰۹-۲۲۴

جرم کل سامانه که شامل تمامی زیرسامانه‌های سامانه پیشرانش تک مؤلفه‌ای مورد طراحی است به صورت رابطه ۲۳ محاسبه می‌شود:

$$M_{total} = \left(M_{tank_f} + M_{pgt_f} + M_{go_f} + M_f + M_{cyl} \right) + M_{cap} + M_{nozzle} + M_{ct_l} + M_{pg} \quad (23)$$

رابطه شامل وزن‌های مختلف زیرسامانه‌ها به ترتیب وزن تانک پیشرانش M_{tank_f} ، وزن تانک گاز تحت فشار M_{pgt_f} ، وزن گاز مرده روی پیشرانش M_{go_f} ، وزن پیشران M_f ، وزن بخش سیلندری تراستر M_{cyl} وزن درپوش تراستر M_{cap} ، وزن نازل M_{nozzle} ، وزن کاتالیزگر M_{ct_l} ، وزن گاز فشارنده M_{pg} می‌باشد. همچنین می‌توان ضریب تأثیر برای جرم اتصالات و سایر تجهیزات به عنوان ضریب تصحیح در نظر گرفت. در جدول ۲ می‌توان به عنوان صحه‌گذاری روش طراحی سامانه مقادیر خروجی را با مقادیر در دسترس نمونه‌های MR-107s و MR-80B مدل MR-80B دارای تراست (N) ۳۱۰۰ و زمان سوزش (s) ۳۳۴ و مدل MR-107s دارای تراست (N) ۲۸۵ و زمان سوزش (s) ۳۰ هستند به همین دلیل نمونه طراحی نیز با همین مقادیر اجرا شده است.

جدول ۲- مقایسه پارامترهای تراستر طراحی شده با دو نمونه

	MR-80B	طراحی				
Pic		-				
Thrust(N)	۳۱۰۰	۳۱۰۰				
T_{burn}(s)	۳۳۴	۳۳۴				
P_c(bar)	۰/۱۴-۲۰/۴۰	۷/۹۰۱۵				
Engine Length(cm)	۴۱/۰۵	<table border="1"> <tr> <td>L_{nozzle} ۲۴/۹۱</td> <td>$L_{chamber}$ ۱۶/۷۸</td> </tr> <tr> <td colspan="2">۴۱/۷۵</td> </tr> </table>	L_{nozzle} ۲۴/۹۱	$L_{chamber}$ ۱۶/۷۸	۴۱/۷۵	
L_{nozzle} ۲۴/۹۱	$L_{chamber}$ ۱۶/۷۸					
۴۱/۷۵						
Mass(Kg)	۶/۹۲	۷/۰۸				
D_c(cm)	۱۵/۴۴	۱۵/۹۲				
I_{sp}(s)	۲۰۰-۲۲۵	۲۱۵				
	MR-107s	طراحی				
Pic		-				
Thrust(N)	۲۸۵	۲۸۵				

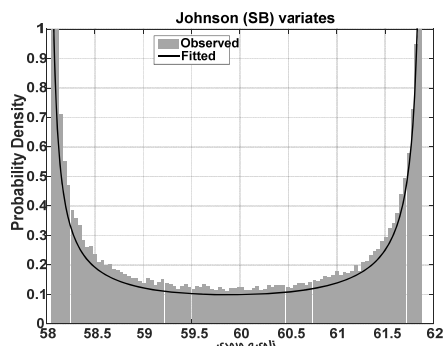
۱۵/۶۳	۱۵/۶۱	۱۶/۰۲
۱۵/۶۹	۱۴/۶۵	۱۴/۷۸
۱۴/۴۷	۱۵/۴۶	۱۵/۲۷
۱۵/۰۸	۱۵/۴۱	۱۴/۵۵
۱۴/۹۹	۱۴/۴۳	-
زاویه خروج - ۰/۱		
۱۴/۷۸	۱۵/۱۹	۱۴/۱۴
۱۴/۶۶	۱۵/۳۲	۱۴/۹۰
۱۵/۴۳	۱۵/۴۱	۱۵/۸۲
۱۵/۴۹	۱۴/۴۵	۱۴/۵۸
۱۴/۲۷	۱۵/۲۶	۱۵/۰۷
۱۴/۸۸	۱۵/۲۱	۱۴/۳۵
۱۴/۷۹	۱۴/۲۳	-

برای تعیین عدم قطعیت این مقادیر از روش حداقل درستنمایی اشاره شده در بخش‌های قبلی و برای تعیین توزیع، از توزیع جانسون محدود استفاده شده است. بعد از تخمین پارامترهای توزیع جانسون مقادیر مقدار میانگین و انحراف استاندارد برای هر یک به صورت زیر محاسبه شده است.

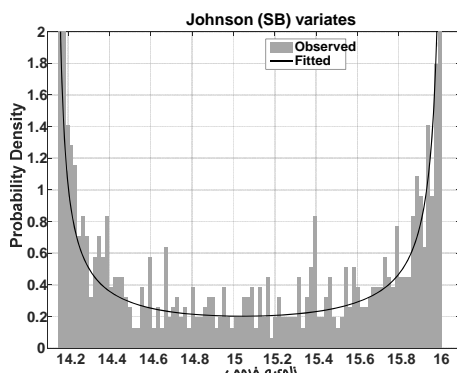
$$[\mu_{\text{deg_in}}, \sigma_{\text{deg_in}}] = [60.1689, 1.5509]$$

$$[\mu_{\text{deg_out}}, \sigma_{\text{deg_out}}] = [15.1921, 0.7524]$$

می‌توان توزیع جانسون منطبق به این مقادیر را در نمودارهای ۸ و ۹ مشاهده کرد:



شکل ۸- نمودار چگالی احتمال برای زاویه ورود نازل با توزیع جانسون



شکل ۹- نمودار چگالی احتمال برای زاویه خروج نازل با توزیع جانسون

شرکت	مدل	نسبت انبساط	فشار محفظه (bar)	ضریب مخصوص (s)
Moog	MONARC-1	۵۷	-	۲۲۷/۵
	MONARC-5	۱۳۵	-	۲۲۶/۱
	MONARC-22-6	۶۰	-	۲۲۹/۵
	MONARC-22-12	۴۰	-	۲۲۸/۱
	MONARC-90LT	۴۰	-	۲۲۲/۱
	MONARC-90HT	۵۰	-	۲۳۴
	MONARC-445	۵۰	-	۲۳۴
Airbus	1Nmono	۸۰	۵/۵-۲۲	۲۲
	20Nmono	۶۰	-	۲۲۲-۲۳۰
	10Nmono	۵۰	-	۲۱۵-۲۲۸
	400Nmono	۳۰	-	-

با توجه به مرجع [۳۹] و خطأ در محاسبه برای فشار محفظه احتراق انحراف استاندارد ۵ درصد مفروض شده است. برای تعیین عدم قطعیت زاویه‌های ورودی و خروجی نازل در مرجع [۴۰] برای زاویه ورودی بازه [۲۰ ۵۰] درجه و برای زاویه خروجی بازه [۱۲ ۱۸] درجه اشاره شده است و مقدار بهینه‌ی این زوایا را به ترتیب برای ورودی و خروجی مقادیر ۶۰ و ۱۵ درجه بیان شده است [۴۱]. در این تحقیق برای نمایش این مقادیر به صورت عدم قطعیت فرض بر این شده که در ۲۰ نمونه موجود با همان زوایا با توجه به خطأ در ساخت و دقت دستگاه اندازه‌گیری به اندازه ۰/۱ درجه، بازه به صورت زیر حاصل شده است [۵].

زاویه ورود - ۰/۱+		
۶۰/۷۲	۵۹/۶۷	۵۸/۴۹
۵۸/۲۴	۶۰/۷۲	۶۱/۳۹
۶۱/۵۰	۵۸/۷۸	۶۰/۸۸
۶۱/۸۴	۶۰/۹۲	۵۹/۳۷
۶۰/۸۱	۵۸/۲۳	۶۱/۹
۶۱/۱۳	۵۹/۲۱	۵۸/۲۴
۶۱/۰۷	۵۸/۲۸	-
زاویه خروج - ۰/۱-		
۶۰/۵۲	۵۹/۴۷	۵۸/۲۹
۵۸/۰۴	۶۰/۵۲	۶۱/۱۹
۶۱/۳۰	۵۸/۵۸	۶۰/۶۸
۶۱/۶۴	۶۰/۷۳	۵۹/۱۷
۶۰/۶۱	۵۸/۰۳	۶۱/۷۰
۶۰/۹۳	۵۹/۰۱	۵۸/۰۴
۶۰/۸۷	۵۸/۰۸	-
زاویه خروج - ۰/۱+		
۱۴/۹۸	۱۵/۳۹	۱۴/۳۴
۱۴/۸۶	۱۵/۵۲	۱۵/۱۰

اینکه برای نمونه مشابه مقادیری برای تعیین کران طراحی به دست نیامد ابتدا با توجه به مقادیر جدول ۳ برای نسبت انساط نازل حداکثر و حداقل کران محاسبه می‌شود.

$$A_e/A^* = [30, 200]$$

همچنین با توجه به جدول ۱ بر اساس حداکثر و حداقل غلظت هیدراین مورد نظر با میانیابی برای نسبت گرمای ویژه، دو کران به صورت زیر به دست می‌آید.

$$\gamma = [1.2765, 1.2807]$$

با استخراج حداکثر و حداقل γ ، حداقل و حداکثر نسبت انساط نازل و به کمک رابطه‌ی نسبت انساط به صورت رابطه ۲۴ می‌توان برای ماخ خروجی کران‌ها را تخمین زد. با توجه به غیرخطی بودن رابطه مقادیر با روش‌های عددی محاسبه می‌شود.

$$\left(\frac{A_e}{A^*}\right)^2 = \frac{1}{M_e^2} \left[\frac{2}{\gamma+1} \left(1 + \frac{\gamma-1}{2} M_e^2 \right) \right]^{\frac{\gamma+1}{\gamma-1}} \quad (24)$$

همچنین می‌توان با روش‌های بهینه‌سازی نیز حداکثر حداقل ماخ خروجی را محاسبه کرد. نتایج حاصل با الگوریتم بهینه‌سازی از دحام ذرات در نرم‌افزار متلب در حالت پیش‌فرض این نرم‌افزار به شرح زیر حاصل می‌شود.

$$M_e = [4.4513, 6.3261]$$

برای تعیین عدم قطعیت در شاع مخازن تحت‌فشار از داده‌های شرکت ATK به صورت نمونه‌های موجود استفاده شده است. حداکثر شاع مقدار ۶۱۵ میلی‌متر (مربوط به مدل ۸۰۲۱۸-۱) و حداقل مقدار مفروض ۱۰ میلی‌متر در نظر گرفته می‌شود. انحراف استاندارد این مخازن مطابق با نقشه ارائه شده نمونه مخزن تحت فشار ۸۰۲۱۸ طبقه فوکانی Centaur ماهواره‌بر Atlas مقدار آن ۰/۰ سانتی‌متر مفروض شده است [۴۲]

$$R_{pgt} = [10, 615]$$

درنهایت چهارچوب بهینه‌سازی کلی این طراحی به صورت رابطه ۲۵ بیان می‌شود:

$$d^* = \operatorname{argmin}_d (\max_{\mu_z} (Mass_w(d, \mu_z)))$$

$$\begin{aligned} s.t. \quad & Isp_{\min} \leq E(Isp_w(d, \mu_z)) \leq Isp_{\max} \\ & Exp_{\min} \leq E(Exp_w(d, \mu_z)) \leq Exp_{\max} \\ & P_{C\min} \leq P_{C_i} \leq P_{C\max} \\ & R_{pgt\min} \leq R_{pgt} \leq R_{pgt\max} \\ & Con_{\min} \leq Con \leq Con_{\max} \\ & \rho_{\min} \leq \rho \leq \rho_{\max} \\ & Me_{\min} \leq Me \leq Me_{\max} \\ & Thrust_{\min} \leq Thrust \leq Thrust_{\max} \\ & tburn_{\min} \leq tburn \leq tburn_{\max} \\ & d_x - k\sigma_x \leq \xi_x \leq d_x + k\sigma_x \\ & \rightarrow x = \{P_C, R_{pgt}, Me\}, \\ & z = \{Con, \rho, Thrust, tburn, Deg_{in}, Deg_{out}\} \end{aligned} \quad (25)$$

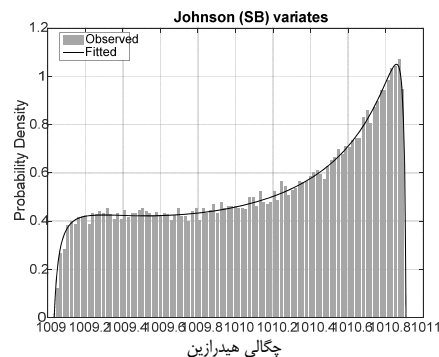
در چارچوب بیان شده متغیرهای تراست، زمان سوزش، چگالی پیشان، غلظت پیشان، زاویه ورود و خروج نازل به عنوان

طراحی بهینه بدترین حالت سامانه پیشان هیدراین برای یک سامانه انتقال مداری تحت عدم قطعیت مبتنی بر ...

برای تعیین عدم قطعیت‌های چگالی پیشان، فرض بر این شده است که با انجام ۲۰ آزمایش بر روی ۲۰ نمونه مقادیر چگالی به صورت نقاط گسسته با مقادیر زیر داده شده‌اند. مقدار چگالی براساس استاندارد MIL-PRF-26536E است.

چگالی پیشان		
۱۰۰/۴۶	۱۰۱/۰۶	۱۰۱/۱۳
۱۰۱/۸۵	۱۰۱/۹۱	۱۰۱/۷۷
۱۰۱/۱۳	۱۰۱/۸۲	۱۰۰/۹۷
۱۰۰/۹۶	۱۰۱/۶۰	۱۰۱/۰۹
۱۰۰/۶۳	۱۰۰/۰۳	۱۰۰/۲۱
۱۰۱/۷۴	۱۰۰/۷۳	۱۰۱/۵۶
۱۰۰/۱۰	۱۰۱/۸۶	-

می‌توان توزیع جانسون منطبق به این مقادیر را در نمودار در شکل ۱۰ مشاهده کرد:



شکل ۱۰ - نمودار چگالی احتمال برای چگالی با توزیع جانسون

در اینجا نیز به کمک روش حداقل درست‌نمایی اشاره شده و توزیع جانسون مقدار میانگین و انحراف استاندارد خروجی محاسبات به صورت زیر بیان می‌شود:

$$[\mu_{Prop}, \sigma_{Prop}] = [1010.12, 0.55]$$

برای تعیین عدم قطعیت ضربه مخصوص مقادیر از جدول ۳ استخراج می‌شود. از این مقادیر برای تعیین کران بازه‌های استفاده می‌شود فقط با توجه به تلفات محفظه احتراق بین ۴ تا ۵ درصد مقادیر کران‌ها تغییر می‌یابد. با توجه به اینکه Isp به صورت تابع قید وارد مسئله می‌گردد باید در طول مسئله مقادیر انحراف استاندارد آن با توجه به یکی از روش‌های انتشار عدم قطعیت محاسبه شود تا درنهایت مقادیر محاسبه شده در بازه‌ی موردنظر طراحی قرار گیرد. به همین ترتیب اشاره شده برای نسبت انساط نازل انجام می‌شود. برای غلظت هیدراین یک مقدار به صورت بازه [۵۹/۲ ۶۱/۴] درصد با انحراف استاندارد ۱۰ درصد فرض می‌گردد. برای تعیین عدم قطعیت ماخ خروجی (M_e) با توجه به

علیرضا طلوعی، محمد فاتحی و بهروز کشتگر

از بهینه‌سازی ازدحام ذرات و برای بهینه‌سازی بدترین حالت از دستور fmincon در حالت پیش‌فرض استفاده شده است.

جدول ۵- مقادیر حاصل به ازای روش‌های مختلف

	O_WCO	W_WCO	G_WCO	Classic
Mass	۲۱/۱۲۲۵	۲۱/۱۲۲۵	۲۱/۱۲۳۰	۱۹/۵۸۰۰
Mass _w	۲۱/۱۹۴۳	۲۱/۱۹۵۸	۲۱/۲۳۰۰	-
Isp	۲۳۹/۵۳۴	۲۳۹/۵۳۴	۲۳۹/۵۲۷۶	۲۴۱/۱۸۸
Isp _{w1}	-۱۰/۱۹۶۳	-۱۰/۱۹۶۲	-۹/۶۳۷۰	-
Isp _{w2}	-۲۷/۹۷۸۱	-۲۷/۹۷۸۰	-۳۰/۲۵۱۲	
A _e /A [*]	۱۵۹/۹۱۴۲	۱۵۹/۹۱۴۳	۱۵۹/۷۰۳۳	۲۰۰
(A _e /A [*]) _{w1}	-۰/۰۰۰۲	-۰/۰۰۰۳	-۲/۷۲۹۲	-
(A _e /A [*]) _{w2}	-۱۰۴/۰۷	-۱۰۴/۰۸	-۱۵۷/۵۵	
evaluations	۴۲۸۷۱۹	۳۶۸۹۴	۲۶۲۷۸	۳۵۴۰

جدول ۶- مقادیر حاصل از طراحی

مقادیر	جرم کل (Kg)	Isp(s)	p _c (bar)	R _{pgt} (m)
O_WCO	۲۱/۱۲۲۵	۲۳۹/۵۳۴	۴/۶۰۱۶	۰/۰۹۶۹
W_WCO	۲۱/۱۲۲۵	۲۳۹/۵۳۴	۴/۶۰۶۲	۰/۰۹۶۷
G_WCO	۲۱/۱۲۳۰	۲۳۹/۵۲۸	۴/۵۹۳۹	۰/۰۹۶۷

M _e	تراست (N)	نسبت انبساط	t _b (s)
۶/۰۸۸۶	۴۲۰	۱۵۹/۹۱۴۲	۶۰
۶/۰۸۸۶	۴۲۰	۱۵۹/۹۱۴۳	۶۰
۶/۰۸۷۲	۴۲۰	۱۵۹/۷۰۳۲	۶۰

غلظت هیدرازین%	$\left(\frac{Kg}{s}\right)$ دبی	جرم موتور (Kg)	T _c (K)	
۶۱/۴	۰/۱۷۸۷	۱/۱۲۵۷	۱۰۷۱/۵	۱/۲۸۰۷
۶۱/۴	۰/۱۷۸۷	۱/۱۲۵۴	۱۰۷۱/۵	۱/۲۸۰۷
۶۱/۴	۰/۱۷۸۷	۱/۱۲۶۰	۱۰۷۱/۵	۱/۲۸۰۷

زاویه ورودی (deg) نازل	زاویه خروجی (deg) نازل	جرم کاتالیست	چگالی پیشران
۵۸	۱۴	۰/۶۸۸۷	۱۰۰۹
۵۸	۱۴	۰/۶۸۸۶	۱۰۰۹
۵۸	۱۴	۰/۶۸۹۰	۱۰۰۹

M _{prop}	Re(m)	R*(m)	L _{engine} (m)
۱۰/۷۲۴۲	۰/۱۵۷۴	۰/۰۱۲۴	۰/۸۰۵۸
۱۱/۷۲۴۲	۰/۱۵۷۳	۰/۰۱۲۴	۰/۸۰۵۵
۱۰/۷۲۴۵	۰/۱۵۷۴	۰/۰۱۲۵	۰/۸۰۶۰

پارامترهای طراحی و فشار محفظه احتراق، شاع مخزن تحت فشار و ماخ خروجی به عنوان متغیر طراحی مفروض می‌شود. همان‌گونه که مشخص است در این چارچوب دو قید نسبت انبساط نازل و ضربه مخصوص به مسئله افزوده شده است. برای سایر پارامترهای مهم در طراحی نیز می‌توان به دلخواه قید به مسئله افزود، این قیدها در دست طراح است و به هر میزان می‌تواند به مسئله قید اضافه نماید. با این کار تنها مسئله و پیداکردن نقاط در ناحیه امکان‌پذیری محدودتر می‌شود. در جدول ۴ می‌توان به طور خلاصه مقادیر عدم قطعیت و بازه‌های متغیرهای طراحی، پارامترهای طراحی و قیدها را که با روش حداکثر درست‌نمایی توزیع جانسون مذکور محاسبه شده مشاهده کرد.

جدول ۴- مقادیر پارامتر(Z)، متغیرهای طراحی (d) و قیدها (C)

نوع متغیر	نوع	نحوه موجود	نحوه اتحاف	نحوه متغیر
Z	Thrust	[۳۸۰,۴۲۰]	۳/۶٪	غیر‌شناختی
	tburn	[۲۰۵۰]	۰/۰۵٪	غیر‌شناختی
		[۱۰۰,۱۰۱]	داده تنک	شناختی
		[۵۹/۲۶۱/۴]	-۰/۱٪	غیر‌شناختی
	Deg_in	[۵۸۶۲]	چند بازه	شناختی
d	Deg_out	[۱۴,۱۶۵]	چند بازه	شناختی
		[۰/۱۴ ۲۳/۸]	-۵٪	غیر‌شناختی
	Rpgt	[۱۰۶۱۵]	۰/۰۴٪	غیر‌شناختی
C	Isp	[۲۱۰,۲۵۲]	-	محاسبه در اجرا
	Exp	[۳۰,۲۰۰]	-	محاسبه در اجرا

نتایج و نتیجه‌گیری

به طور کلی روش‌های WCO با توجه به اینکه تقریباً یک مسئله بهینه‌سازی هستند و نیاز به محاسبه واریانس توابع هدف و قیدها نیست نسبت به سایر روش‌های طراحی تحت عدم قطعیت مانند RBDO سرعت بالاتری دارند. به منظور مقایسه سه روش بیان شده WCO در طراحی یک سامانه پیشرانش عکس‌العملی هیدرازین مبتنی بر حداکثر درست‌نمایی با توزیع جانسون تحت عدم قطعیت جدول ۵ آورده شده است. برای کلیه روش‌ها سطح قابلیت اطمینان k عدد ۱ فرض شده است. سه روش بیان شده با یک بهینه‌سازی سنتی بدون عدم قطعیت مقایسه شده است در حالتی که توابع ۴۰ نیوتون و زمان سوزش مقدار ۶۰ ثانیه مفروض شدند. مقادیر حاصل در نرم‌افزار متلب اجرا شده و به ترتیب برای روش کلاسیک

حداکثر درستنمایی برای تعیین عدم قطعیت داده‌های بازه‌ای و تنک در مجموعه خانواده توزیع‌های جانسون استفاده شده است. همانگونه که در نتایج جدول نیز قابل مشاهده است روش WWCO توانسته است علاوه بر افزایش سرعت پاسخ‌هایی نظری روش OWCO را حاصل کند. مقادیر تفاوت دو روش در ارقام بالاتر اعشار است. این در حالی است که روش GWCO با مد نظر قرار دادن تقریب سری تیلور و نامساوی کوشی-شوارتر برای دامنه تغییرات عدم قطعیت مقادیر متفاوتی نسبت به دو روش دیگر حاصل نموده است.

مراجع

- [1] W. Yao and et al. "Review of uncertainty-based multidisciplinary design optimization methods for aerospace vehicles." *Progress in Aerospace Sciences*, Vol. 47, No. 6, pp. 450-479, 2011.
- [2] S. Xiao, Y. Li, M. Rotaru, J. Sykulski, "Considerations of uncertainty in robust optimisation of electromagnetic devices." *International Journal of Applied Electromagnetics and Mechanics*, vol. 46, no. 2, pp. 427-436, 2014.
- [3] Ren, Ziyan, Minh-Trien Pham, and Chang Seop Koh. "Robust global optimization of electromagnetic devices with uncertain design parameters: comparison of the worst case optimization methods and multiobjective optimization approach using gradient index." *IEEE Transactions on Magnetics*, Vol. 49, no. 2, pp. 851-859, 2013.
- [4] G. Steiner, A. Weber and C. Magele. "Managing uncertainties in electromagnetic design problems with robust optimization." *IEEE transactions on magnetics*, vol. 40, no. 2, pp. 1094-1099, 2004.
- [5] M. Fatehi, "Robust Design Optimization of An Upperstage Launch Vehicle", MSc thesis, 2015, (in persian).
- [6] W. L. Oberkampf, J.C. Helton, C.A. Joslyn, S.F. Wojtkiewicz, S. Ferson, "Challenge Problems: uncertainty in system response given uncertain parameters," *Reliability Engineering and System Safety*, Vol. 85, pp. 11-19, 2004.
- [7] S. Ferson, C.A. Joslyn, J.C. Helton, W.L. Oberkampf, Summary from the epistemic uncertainty workshop: consensus amid diversity." *Reliability Engineering and System Safety*, Vol. 85, No. 1-3, pp. 355- 369, 2004.
- [8] N.L., Johnson, S. Kotz and N. Balakrishnan, *Continuous Univariate Distributions*, vol. 1, 1994 and vol. 2. John Wiley and Sons. INC. 1995.
- [9] Snedecor, George W. and Cochran, William G., Statistical Methods, Iowa State University Press. 1989
- [10] DeBrota, Swain, Roberts, Venkataraman, , Input modeling with the Johnson System of distributions, 1988.
- [11] J. F. Monaco, D.S. Kidman, D. J. Malloy, D. G. Ward, J.F. Gist, "Automated Methods to Calibrate a High-Fidelity Thrust Deck to Aid Aeropropulsion Test and Evaluation." *ASME Turbo Expo 2008: Power for Land, Sea, and Air. American Society of Mechanical Engineers*, pp. 41-54, 2008.

طراحی بهینه بدترین حالت سامانه پیشرانش هیدرائین برای یک سامانه انقل مداری تحت عدم قطعیت مبتنی بر...

همان‌گونه که از مقادیر در جدول ۵ مشخص است طراحی معین دارای وزن کمتری است ولی دقیقاً زمانی که عدم قطعیت‌ها در متغیر و پارامترهای طراحی لحاظ شود هر دو قید نقض می‌شود اینجاست که از نظر مفهومی روش WCO بهوضوح قابل درک می‌شود. به عبارتی این روش نقطه بهینه را با قبول هزینه‌ای در حدود $1/6$ کیلوگرم به نقطه‌ای منتقل می‌کند که قیدها نقض نشوند (به شکل ۱ ارجاع شود). با مقایسه سه روش، روش WCO اصلی دارای بالاترین دقت و در عین حال نیازمند بیشترین مجموع ارزیابی تابع هدف و قیدها است. این امر ناشی از دو بهینه‌سازی تودرتو برای محاسبه بدترین حالت تابع هدف و قیدها و جستجوی حداقل مقدار بهینه در ساختار این الگوریتم است. در مقایسه WWCO با WWCO روش دارای دقت بالاتری است. در بین سه روش، روش GWCO دارای بالاترین سرعت و حداقل تعداد ارزیابی است زیرا با حذف بهینه‌سازی داخلی با یک سری تیلور مرتبه اول به مسئله سرعت بخشیده ولی با توجه به ماهیت تقریبی بودن مسلماً از دقت کاسته می‌شود. برای جبران می‌توان از مراتب بالاتر سری تیلور استفاده کرد که طبیعاً هزینه محاسبه افزایش می‌یابد. هر چند در مثال کنونی دارای دقت قابل قبولی است ولی با افزایش مقادیر عدم قطعیت در متغیرها با توجه به بهره‌گیری این روش از سری تیلور به همان نسبت پاسخ‌ها از مقادیر بهینه دور می‌شوند. روش WWCO تقریباً از سرعت و دقت مناسبی برخوردار است و برای بسیاری از مسائل قابل استفاده است. نقطه ضعف این روش زمانی پدیدار می‌شود که در حلقه درونی برای محاسبه بدترین حالت در بازه $[x_0 - \Delta x_0 + \Delta]$ تغییرات تابع لزوماً صعودی و یا نزولی صرف نباید. در این حالت نقطه اکسترمم، دیگر در ابتدا و انتهای بازه مذکور رخ نمی‌دهد. دو روش OWCO و WWCO درای دارای پاسخ‌های مشابهی هستند درحالی که روش GWCO دارای پاسخ متفاوت‌تری است. در این روش علاوه بر تقریب سری تیلور از نامساوی کوشی شوارتر نیز استفاده شده که باعث بزرگتر شدن دامنه عدم قطعیت نسبت به یک سری تیلور عادی است.

در جدول ۶ می‌توان مقادیر دقیق‌تر هر بخش از زیرسامانه پیشرانش تک مؤلفه‌ای با هر یک از روش‌های مذکور را مشاهده کرد. در این جدول بدترین حالت پارامترهای طراحی لحاظ شده دقیقاً در روی مرازهای بیان شده قرار گرفته است. برای محاسبه مقادیر عدم قطعیت هر یک از پارامترها و متغیرهای طراحی از روش حداکثر درستنمایی توزیع جانسون استفاده شده است. برای نمایش جامعیت روش پیشنهادی از همه نمونه نوع متغیرهای بازه‌ای و یا تنک بهره گرفته شده است. توجه به این نکته ضروری است که در چارچوب پیشنهادی متغیرهای طراحی از پارامترهای طراحی جدا شده و عدم قطعیت شناختی نیز در نظر گرفته می‌شود همچنین از

- [27] David H. Huang and Dieter K. Huzel, *Modern engineering for design of liquid-propellant rocket engines*, Vol. 147. Institute of Aeronautics and Astronautics, Inc, 1992.
- [28] M. Fatehi, M. Nosratollahi, A. Hossein Adami, and S.M. Hadi Taherzadeh. "Designing Space Cold Gas Propulsion System using Three Methods: Genetic Algorithms, Simulated Annealing and Particle Swarm," *International Journal of Computer Applications*, vol. 118, no. 22, pp. 25-32, 2015.
- [29] A. E. Makled, and H. Belal. "Modeling of Hydrazine Decomposition for Monopropellant Thrusters." *13th International Conference on Aerospace Sciences & Aviation Technology*. 2009.
- [30] D. Krejci, A. Woschnak, "Hydrogen peroxide decomposition for micro propulsion: simulation and experimental verification." *47th AIAA/ASME/SAE/ASEE Joint Propulsion Conference & Exhibit*. 2011.
- [31] A. Hossein. Adami, et al. "Multidisciplinary Design Optimization and Analysis of Hydrazine Monopropellant Propulsion System." *International Journal of Aerospace Engineering*, vol. pp. 1-9, 2015.
- [32] Editor(s): W. Ley, K. Wittmann, and W. Hallmann, eds. *Handbook of space technology*. Vol. 22. John Wiley & Sons, 2009.
- [33] Kesten, Arthur S. "Analytical Study of catalytic reactors for hydrazine decomposition." NASA UARL G 910461 1968.
- [34] A. Hossein Adami, Multidisciplinary design optimization of reentry vehicle considering guidance algorithm, Ph.D. thesis, Amirkabir University of Technology, Tehran, Iran, 2014.
- [35] Aerojet Monopropellant Rocket engine Data Sheets. Available: <https://www.rocket.com/space/space-power-propulsion/monopropellant-rocket-engines>.
- [36] Moog Monopropellant thrusters Data Sheets. 2013. Available: <https://www.moog.com/products/propulsion-controls/spacecraft/thrusters.html>.
- [37] Airbus Defence and Space Chemical Monopropellant Thruster Family Data Sheets. 2013. Available: <https://www.space-propulsion.com/brochures/hydrazine-thrusters/hydrazine-thrusters.pdf>,
- [38] P. McRight, Ch. Popp, Ch. Pierce and A. Turpin, "Confidence testing of Shell-405 and S-405 catalysts in a monopropellant hydrazine thruster." *41st AIAA/ASME/SAE/ASEE Joint Propulsion Conference & Exhibit*, 2005.
- [39] M. J. Wilson, "Demonstration testing of a long-life 5-lbf (22-n) mr-106I monopropellant hydrazine rocket engine assembly." *41st AIAA/ASME/SAE/ASEE Joint Propulsion Conference & Exhibit*, 2005.
- [40] G. P. Sutton and O. Biblars, *Rocket propulsion elements*. John Wiley & Sons, 2016.
- [41] Travis S. Taylor, *Introduction to rocket science and engineering*. CRC Press, 2009.
- [42] Fatehi, Mohammad, Alireza Toloei, and Behrooz Keshtegar. "Optimal Design of Monopropellant Hydrogen Peroxide Propulsion Control System for a Satellite Orbital Transfer System under Uncertainty." *Aerospace Knowledge and Technology Journal* 9.2, 2020.
- [12] Jason, P. Modisette, "Maximum Likelihood Approach to State Estimation in Online Pipeline Models." *9th International Pipeline Conference American Society of Mechanical Engineers*, 2012.
- [13] Xiao, Jie, and Bohdan Kulakowski. "Hybrid genetic algorithm: A robust parameter estimation technique and its application to heavy duty vehicles." *Journal of dynamic systems, measurement, and control*, vol. 128, No. 3, pp. 523-531, 2006.
- [14] R.A. Fisher, On the probable error of a coefficient of correlation deduced from a small sample, *Journal Metron*, vol. 1, pp. 3-32, 1921.
- [15] A. Haldar and Sh. Mahadevan, *Probability Reliability and Statistical Methods in Engineering Design*, John Wiley & Sons. Inc., New York, 1999.
- [16] P. Raj Dey, "Robust and reliability-based design optimization under epistemic uncertainty." Available, <http://lib.buet.ac.bd:8080/xmlui/handle/123456789/1430>, 2015.
- [17] K. Zaman, M. McDonald, S. Mahadevan and L. Green, "Robustness-based design optimization under data uncertainty." *Structural and Multidisciplinary Optimization*, Springer, vol. 44, no.2, pp. 183-197, 2011.
- [18] S. Sankararaman, S. Mahadevan, Likelihood-based representation of epistemic uncertainty due to sparse point data and/or interval data, *Reliability Engineering and System Safety*, vol. 96, pp. 814-824, 2011.
- [19] K. Zaman and P. Raj Dey, "Likelihood-based representation of epistemic uncertainty and its application in robustness-based design optimization." *Structural and Multidisciplinary Optimization*, vol. 56, issue 4, pp. 767-780, 2017.
- [20] M. Nosratollahi, M. Fatehi, A.H. Adami, "Design of an Upper Stage Propulsion System by Multi Objective Hybrid PSO." *Journal of Space Science and Technology (JSST)*, vol.13, no.3, pp. 1-16, 2020 (in Persian).
- [21] M. Nosratollahi, A.R. Novinzadeh, M. Zakeri, V. Bemani and Y. EmadiNoori, "Integrated Design of Orbital Transfer Block in an Optimized and Multistep Converged Environment," *Journal of Space Science and Technology (JSST)*, vol. 7, no. 4, pp.23-27, 2015 (in Persian).
- [22] Walter E. Hammond, *Design methodologies for space transportation systems*, AIAA, 2001.
- [23] Dieter K. Huzel, D. H. Huang, *Modern engineering for design of liquid-propellant rocket engines*. vol. 147. AIAA, 1992.
- [24] A. Hossein Adami, M. Mortazavi, and M. Nosratollahi. "Multidisciplinary Design Optimization of Hydrogen Peroxide Monopropellant Propulsion System using GA and SQP." *International Journal of Computer Applications*, vol. 113, No. 9, pp. 14-21, 2015.
- [25] M. Nosratollahi, M. Fatehi, A. Hossein Adami, "Multidisciplinary Design Optimization of Hydrazine Monopropellant Propulsion System for Attitude Control of an Upperstage by GA.3rd National and First International Conference in applied research on Electrical, Mechanical and Mechatronics Engineering, 2015.
- [26] M. Tajmar, *Advanced space propulsion systems*, Springer; Softcover reprint of the original 1st ed. 2003 edition (September 8, 2012).